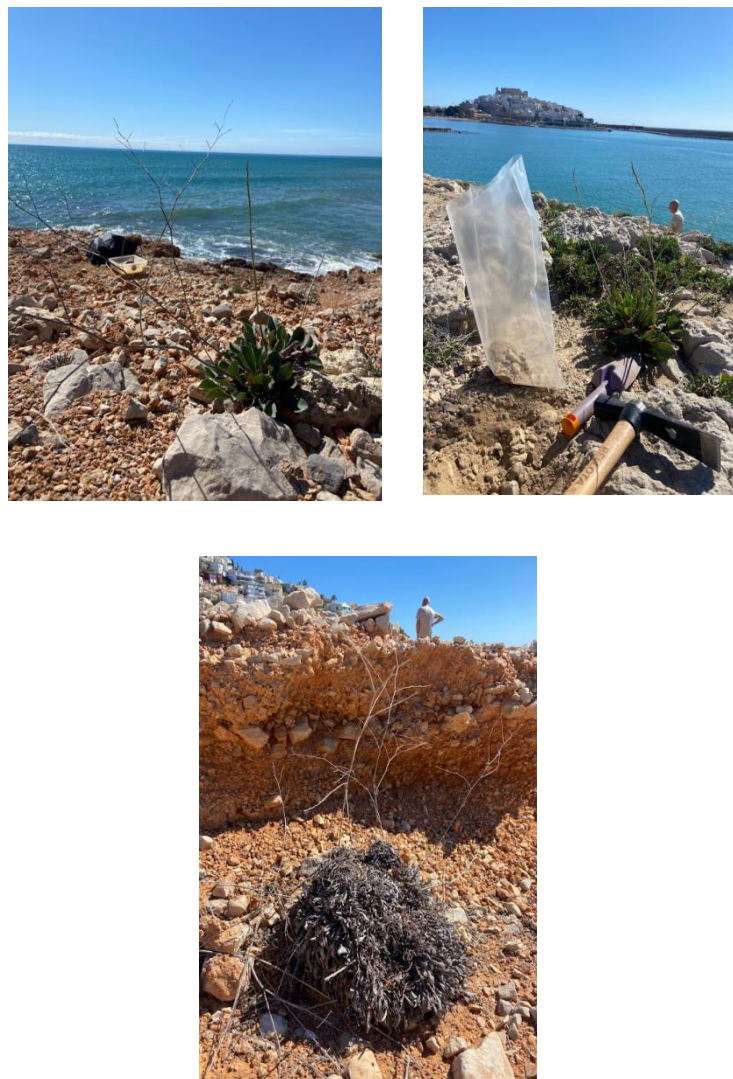


## ÍNDICE DE FIGURAS

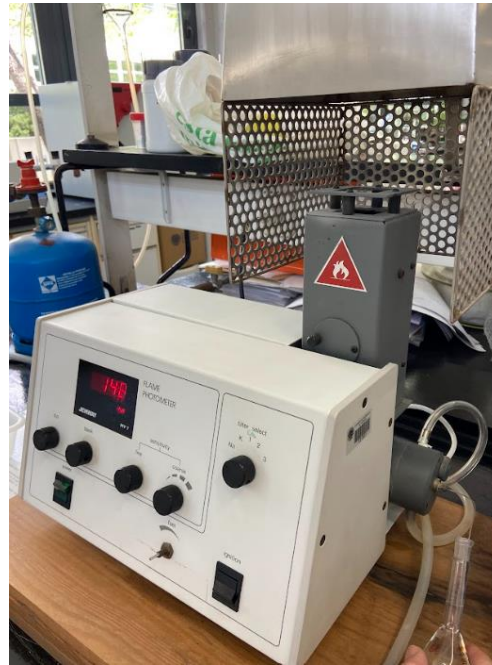
<i>Figura 1: Imágenes de la salida de campo a la Sierra de Irta, donde se obtuvieron todas las muestras de suelo para el posterior análisis.....</i>	<i>3</i>
<i>Figura 2: Imágenes de los trabajos realizados en el laboratorio de edafología. A la izquierda se ve con detalle el proceso de secado al aire de una de las muestras de suelo, mientras que a la derecha se puede observar el fotómetro de llama con el que se obtuvieron las concentraciones de Na<sup>+</sup> para el posterior cálculo de la C.I.C. ....</i>	<i>4</i>
<i>Figura 3: Obtención de la recta de velocidad de sedimentación de las partículas a través de las lecturas del densímetro de Bouyoucos, para la posterior determinación de los porcentajes de arena, limo y arcilla de la población 1 de Limonium irtaense .....</i>	<i>16</i>
<i>Figura 4: Obtención de la recta de velocidad de sedimentación de las partículas a través de las lecturas del densímetro de Bouyoucos, para la posterior determinación de los porcentajes de arena, limo y arcilla de la población 2 de Limonium irtaense .....</i>	<i>17</i>
<i>Figura 5: Obtención de la recta de velocidad de sedimentación de las partículas a través de las lecturas del densímetro de Bouyoucos, para la posterior determinación de los porcentajes de arena, limo y arcilla de la población 3 de Limonium irtaense .....</i>	<i>18</i>
<i>Figura 6: Obtención de la recta de velocidad de sedimentación de las partículas a través de las lecturas del densímetro de Bouyoucos, para la posterior determinación de los porcentajes de arena, limo y arcilla de la población 4 de Limonium irtaense .....</i>	<i>19</i>
<i>Figura 7: Obtención de la recta de velocidad de sedimentación de las partículas a través de las lecturas del densímetro de Bouyoucos, para la posterior determinación de los porcentajes de arena, limo y arcilla de la población 5 de Limonium irtaense .....</i>	<i>20</i>
<i>Figura 8: Obtención de la recta de velocidad de sedimentación de las partículas a través de las lecturas del densímetro de Bouyoucos, para la posterior determinación de los porcentajes de arena, limo y arcilla de la población N1 de Limonium irtaense.....</i>	<i>21</i>
<i>Figura 9: Recta patrón obtenida a través del fotógrafo de llama, para la determinación de las concentraciones de Na<sup>+</sup> y el posterior cálculo de la C.I.C del suelo .....</i>	<i>25</i>
<i>Figura 10: Parte radical de los individuos de Limonium irtaense sometidos al tratamiento de control durante la fase de invernadero .....</i>	<i>26</i>
<i>Figura 11: Parte radical de los individuos de Limonium irtaense sometidos al tratamiento de 300 mM durante la fase de invernadero .....</i>	<i>26</i>
<i>Figura 12: Parte radical de los individuos de Limonium irtaense sometidos al tratamiento de 600 mM durante la fase de invernadero .....</i>	<i>26</i>
<i>Figura 13: Parte radical de los individuos de Limonium irtaense sometidos al tratamiento de control durante la fase de invernadero .....</i>	<i>26</i>
<i>Figura 14: Parte aérea de los individuos de Limonium irtaense sometidos al tratamiento de 300 mM durante la fase de invernadero.....</i>	<i>26</i>
<i>Figura 15: Parte aérea de los individuos de Limonium irtaense sometidos al tratamiento de 600 mM durante la fase de invernadero.....</i>	<i>26</i>

## ÍNDICE DE TABLAS

<i>Tabla 1: Porcentajes de germinación del Limonium irtaense .....</i>	<i>6</i>
<i>Tabla 2: Cálculo del tiempo de germinación para los tratamientos de Control, 50 mM, 100 mM, 200 mM y 300 mM. SD representa el Error estándar. ....</i>	<i>7</i>
<i>Tabla 3: Cálculo del tiempo de germinación para los tratamientos de 100 mM, 200 mM y 300 mM, durante los ensayos de capacidad de recuperación. SD representa el Error estándar. ....</i>	<i>11</i>
<i>Tabla 4: Lectura efectuada por el densímetro de Bouyoucos (g/L) .....</i>	<i>15</i>
<i>Tabla 5: Cálculos realizados para la obtención de la clase textural en la muestra de suelo de la población 1 de Limonium irtaense .....</i>	<i>16</i>
<i>Tabla 6: Cálculos realizados para la obtención de la clase textural en la muestra de suelo de la población 2 de Limonium irtaense .....</i>	<i>17</i>
<i>Tabla 7: Cálculos realizados para la obtención de la clase textural en la muestra de suelo de la población 3 de Limonium irtaense .....</i>	<i>18</i>
<i>Tabla 8: Cálculos realizados para la obtención de la clase textural en la muestra de suelo de la población 4 de Limonium irtaense .....</i>	<i>19</i>
<i>Tabla 9: Cálculos realizados para la obtención de la clase textural en la muestra de suelo de la población 5 de Limonium irtaense .....</i>	<i>20</i>
<i>Tabla 10: Cálculos realizados para la obtención de la clase textural en la muestra de suelo de la población N1 de Limonium irtaense .....</i>	<i>21</i>
<i>Tabla 11: Valores de la conductividad eléctrica tomados por el conductímetro, de todas las repeticiones de las diferentes muestras de suelo tomadas en cada una de las poblaciones de Limonium irtaense. ....</i>	<i>22</i>
<i>Tabla 12: Cálculos realizados para obtener el porcentaje de materia orgánica en las muestras de suelo de cada una de las poblaciones de Limonium irtaense. ....</i>	<i>23</i>
<i>Tabla 13: Cálculos realizados para obtener el porcentaje de carbonatos en las muestras de suelo de cada una de las poblaciones de Limonium irtaense .....</i>	<i>24</i>



*Figura 1: Imágenes de la salida de campo a la Sierra de Irta, donde se obtuvieron todas las muestras de suelo para el posterior análisis*



*Figura 2: Imágenes de los trabajos realizados en el laboratorio de edafología. A la izquierda se ve con detalle el proceso de secado al aire de una de las muestras de suelo, mientras que a la derecha se puede observar el fotómetro de llama con el que se obtuvieron las concentraciones de  $\text{Na}^+$  para el posterior cálculo de la C.I.C.*



Tabla 1: Porcentajes de germinación del *Limonium irtaense*

<i>Limonium irtaense</i> CIEF (%)																			
Control				50 mM				100 mM				200 mM				300 mM			
25	25	25	25	25	25	25	25	25	25	25	25	25	25	25	25	25	25	25	25
1	2	3	4	1	2	3	4	1	2	3	4	1	2	3	4	1	2	3	4
24	28	32	24	4	8	12	12	12	4	0	0	0	0	0	0	0	0	0	0
36	48	48	44	12	12	20	24	16	12	8	0	8	8	4	4	0	0	0	0
68	68	76	76	24	16	24	24	16	16	12	0	20	12	4	8	0	0	0	0
68	68	80	76	24	16	24	24	16	20	12	0	20	12	4	12	0	0	0	0
68	72	80	76	24	16	24	28	16	24	16	0	20	12	8	12	0	4	0	0
68	76	84	76	24	16	24	28	16	28	16	0	20	12	8	16	0	4	4	0
68	76	84	80	24	16	24	28	16	28	24	4	20	12	12	20	0	4	4	0
72	76	84	80	40	24	44	36	24	36	32	16	24	16	12	20	4	4	4	0
76	76	84	80	56	32	64	48	32	44	36	24	24	16	12	20	8	4	4	4
80	76	84	80	56	32	68	52	32	44	36	28	24	20	12	20	8	8	4	4
80	76	84	80	56	32	68	52	32	44	36	28	24	20	12	20	8	8	4	4
80	76	84	80	56	32	72	52	32	44	36	28	24	20	12	20	12	8	4	4
80	76	84	80	56	32	72	52	32	44	36	28	24	20	12	20	12	8	4	4
80	76	84	80	56	32	72	52	32	44	36	28	24	20	12	20	12	8	4	4
Media	80			53				35				19				7			
SD	3,26599			16,452				6,8313				5,03322				3,82971			
SE	1,63299			8,22598				3,41565				2,51661				1,91485			





DÍAS	Semillas germinadas				Semillas germinadas/día				TMG 100							
	1	2	3	4	1	2	3	4	1	2	3	4				
1	1	1	1		0	0	0	0	0	0	0	0	0			
2	2	2	2		3	1	0	0	3	1	0	6	2	0	0	
3	3	3	3		4	3	2	0	1	2	2	0	6	6	0	
4	4	4	4		4	4	3	0	0	1	1	0	0	4	4	0
5	5	5	5		4	5	3	0	0	1	0	0	5	0	0	
6	6	6	6		4	6	4	0	0	1	1	0	6	6	0	
7	7	7	7		4	7	4	0	0	1	0	0	7	0	0	
8	8	8	8		4	7	6	1	0	0	2	1	0	16	8	
9	9	9	9		6	9	8	4	2	2	2	3	18	18	18	27
10	10	10	10		8	11	9	6	2	2	1	2	20	20	10	20
11	11	11	11		8	11	9	7	0	0	0	1	0	0	11	
12	12	12	12		8	11	9	7	0	0	0	0	0	0	0	
13	13	13	13		8	11	9	7	0	0	0	0	0	0	0	
14	14	14	14		8	11	9	7	0	0	0	0	0	0	0	
15	15	15	15		8	11	9	7	0	0	0	0	0	0	0	
									47	68	60	66				
									5,9	6,2	6,7	9,4				
									<b>TMG (días)</b>		<b>SD</b>					
									7,0		1,626687483					



Tabla 3: Cálculo del tiempo de germinación para los tratamientos de 100 mM, 200 mM y 300 mM, durante los ensayos de capacidad de recuperación. SD representa el Error estándar.

DÍAS	Semillas germinadas			Semillas germinadas/día			TMG 100R		
	1	2	3	1	2	3	1	2	3
1	1	1	1	0	0	0	0	0	0
2	2	2	2	10	9	10	10	9	10
3	3	3	3	15	15	15	5	6	5
4	4	4	4	15	15	15	0	0	0
5	5	5	5	15	15	15	0	0	0
6	6	6	6	15	15	15	0	0	0
7	7	7	7	15	15	15	0	0	0
8	8	8	8	15	15	15	0	0	0
9	9	9	9	15	15	15	0	0	0
10	10	10	10	15	15	15	0	0	0
11	11	11	11	15	15	15	0	0	0
12	12	12	12	15	15	15	0	0	0
							35	36	35
							2,3	2,4	2,3
							<b>TMG (días)</b>		<b>SD</b>
							2,4		0,038490018







Tabla 4: Lectura efectuada por el densímetro de Bouyoucos (g/L)

Muestra	t30"	t1'	t3'	t10'	t30'	t60'	t90	t>8h
1	14	13	11,5	10	9,5	8,5	7,5	6,5
3	19	18,5	17,5	15,5	12,5	12	11	8,5
2	33	31	27	24	21,5	19,5	18	12
4	32,5	29,5	27	23,5	21,5	19,5	17,5	12,5
5	33,5	31,5	30	25,5	23	20,5	19,5	15
N1	17	16,5	15	13,5	12,5	11,5	10	8,5

Tabla 5: Cálculos realizados para la obtención de la clase textural en la muestra de suelo de la población 1 de *Limonium irtaense*

	m <sub>ss aire</sub>	Factor hum	T <sup>a</sup> lectura	Factor T <sup>a</sup>	Co	L <sub>L</sub>	t <sub>i</sub>	$\sqrt{t}$	L <sub>i</sub>	$\Theta_i$	D <sub>i</sub>	D' <sub>i</sub>	D'' <sub>i</sub>	C <sub>i</sub>	P <sub>i</sub>
Muestra	(g)	f <sub>h</sub>	(°C)	f <sub>r</sub>	(g/L)	(g/L)	(min)	(min <sup>1/2</sup> )	(g/L)	( $\mu\text{m}\cdot\text{min}^{1/2}$ )	( $\mu\text{m}$ )	( $\mu\text{m}$ )	(mm)	(g/L)	(%)
1	40,04	0,99386	24,5	1,06	39,794	5	0,5	0,7071	14,0	45,60	64,488	68,357	0,06836	9,0	22,6
	40,04	0,99386	24,5	1,06	39,794	5	1	1,0000	13,0	45,90	45,900	48,654	0,04865	8,0	20,1
	40,04	0,99386	24,5	1,06	39,794	5	3	1,7321	11,5	46,30	26,731	28,335	0,02834	6,5	16,3
	40,04	0,99386	24,5	1,06	39,794	5	10	3,1623	10,0	46,70	14,768	15,654	0,01565	5,0	12,6
	40,04	0,99386	24,5	1,06	39,794	5	30	5,4772	9,5	46,85	8,554	9,067	0,00907	4,5	11,3
	40,04	0,99386	24,5	1,06	39,794	5	60	7,7460	8,5	47,10	6,081	6,445	0,00645	3,5	8,8
	40,04	0,99386	24,5	1,06	39,794	5	90	9,4868	7,5	47,30	4,986	5,285	0,00529	2,5	6,3
	40,04	0,99386	24	1,07	39,794	5	1314	36,2491	6,5	47,55	1,312	1,404	0,00140	1,5	3,8

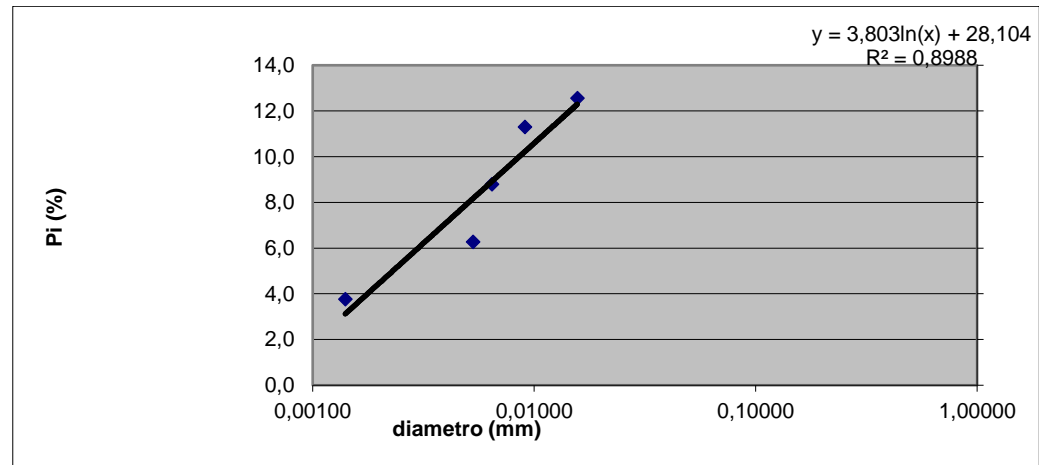


Figura 3: Obtención de la recta de velocidad de sedimentación de las partículas a través de las lecturas del densímetro de Bouyoucos, para la posterior determinación de los porcentajes de arena, limo y arcilla de la población 1 de *Limonium irtaense*

Tabla 6: Cálculos realizados para la obtención de la clase textural en la muestra de suelo de la población 2 de *Limonium irtaense*

Muestra			T <sup>2</sup> lectura	Factor T <sup>2</sup>	Conc susp	Lect blanco	Tiempo	$\sqrt{t}$	Lectura			D <sub>i</sub>	D' <sub>i</sub>	D'' <sub>i</sub>	C <sub>i</sub>	P <sub>i</sub>
	m <sub>ss aire</sub>	Factor hum			Co	L <sub>L</sub>	t <sub>i</sub>		L <sub>i</sub>	Θ <sub>i</sub>	D <sub>i</sub>					
	(g)	f <sub>h</sub>	(°C)	f <sub>T</sub>	(g/L)	(g/L)	(min)	(min <sup>1/2</sup> )	(g/L)	(μm·min <sup>1/2</sup> )	(μm)	(μm)	(mm)	(g/L)	(%)	
<b>3</b>	40,06	0,98824	24,5	1,06	39,589	5	0,5	0,7071	19,0	44,20	62,508	66,259	0,06626	14,0	35,4	
	40,06	0,98824	24,5	1,06	39,589	5	1	1,0000	18,5	44,35	44,350	47,011	0,04701	13,5	34,1	
	40,06	0,98824	24,5	1,06	39,589	5	3	1,7321	17,5	44,65	25,779	27,325	0,02733	12,5	31,6	
	40,06	0,98824	24,5	1,06	39,589	5	10	3,1623	15,5	44,15	13,961	14,799	0,01480	10,5	26,5	
	40,06	0,98824	24,5	1,06	39,589	5	30	5,4772	12,5	46,05	8,408	8,912	0,00891	7,5	18,9	
	40,06	0,98824	24,5	1,06	39,589	5	60	7,7460	12,0	46,20	5,964	6,322	0,00632	7,0	17,7	
	40,06	0,98824	24,5	1,06	39,589	5	90	9,4868	11,0	46,40	4,891	5,184	0,00518	6,0	15,2	
	40,06	0,98824	24	1,07	39,589	5	1314	36,2491	8,5	47,10	1,299	1,390	0,00139	3,5	8,8	

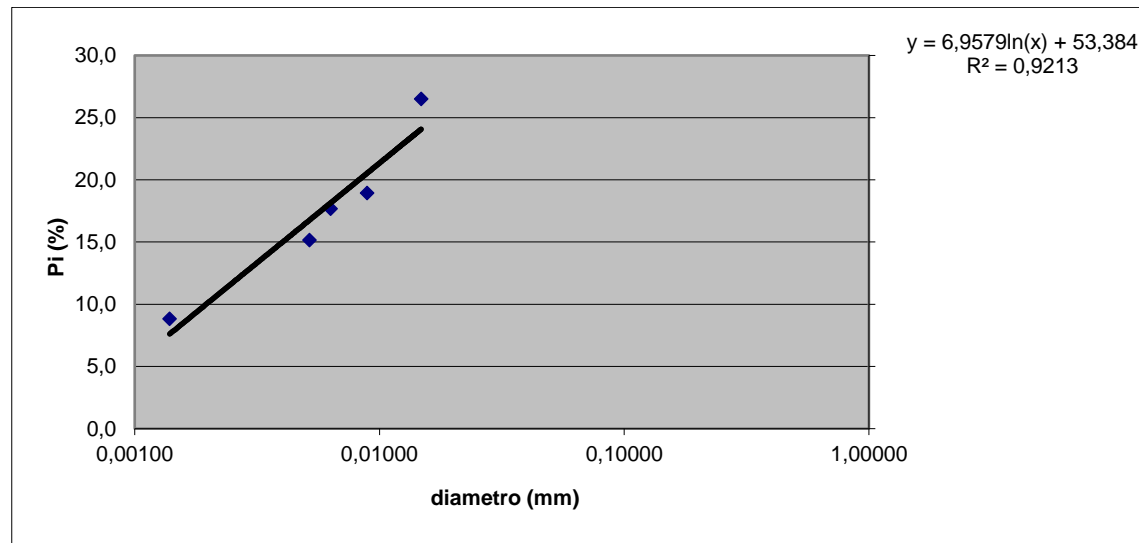


Figura 4: Obtención de la recta de velocidad de sedimentación de las partículas a través de las lecturas del densímetro de Bouyoucos, para la posterior determinación de los porcentajes de arena, limo y arcilla de la población 2 de *Limonium irtaense*

Tabla 7: Cálculos realizados para la obtención de la clase textural en la muestra de suelo de la población 3 de *Limonium irtaense*

Muestra	Conc susp		T3 lectura	Factor T2	Co	Lect blanco	Tiempo	√t	Lectura		Di	D'i	D'i	Ci	Pi
	m <sub>ss</sub> aire	Factor hum							Li	Θi					
2	(g)	f <sub>h</sub>	(°C)	f <sub>T</sub>	(g/L)	(g/L)	(min)	(min <sup>1/2</sup> )	(g/L)	(μm·min <sup>1/2</sup> )	(μm)	(μm)	(mm)	(g/L)	(%)
	40,01	0,97789	24,5	1,06	39,125	5	0,5	0,7071	33,0	40,10	56,710	60,113	0,06011	28,0	71,6
	40,01	0,97789	24,5	1,06	39,125	5	1	1,0000	31,0	40,70	40,700	43,142	0,04314	26,0	66,5
	40,01	0,97789	24,5	1,06	39,125	5	3	1,7321	27,0	41,90	24,191	25,642	0,02564	22,0	56,2
	40,01	0,97789	24,5	1,06	39,125	5	10	3,1623	24,0	42,80	13,535	14,347	0,01435	19,0	48,6
	40,01	0,97789	24,5	1,06	39,125	5	30	5,4772	21,5	43,80	7,997	8,477	0,00848	16,5	42,2
	40,01	0,97789	24,5	1,06	39,125	5	60	7,7460	19,5	44,05	5,687	6,028	0,00603	14,5	37,1
	40,01	0,97789	24,5	1,06	39,125	5	90	9,4868	18,0	44,50	4,691	4,972	0,00497	13,0	33,2
	40,01	0,97789	24	1,07	39,125	5	1314	36,2491	12,0	46,20	1,275	1,364	0,00136	7,0	17,9

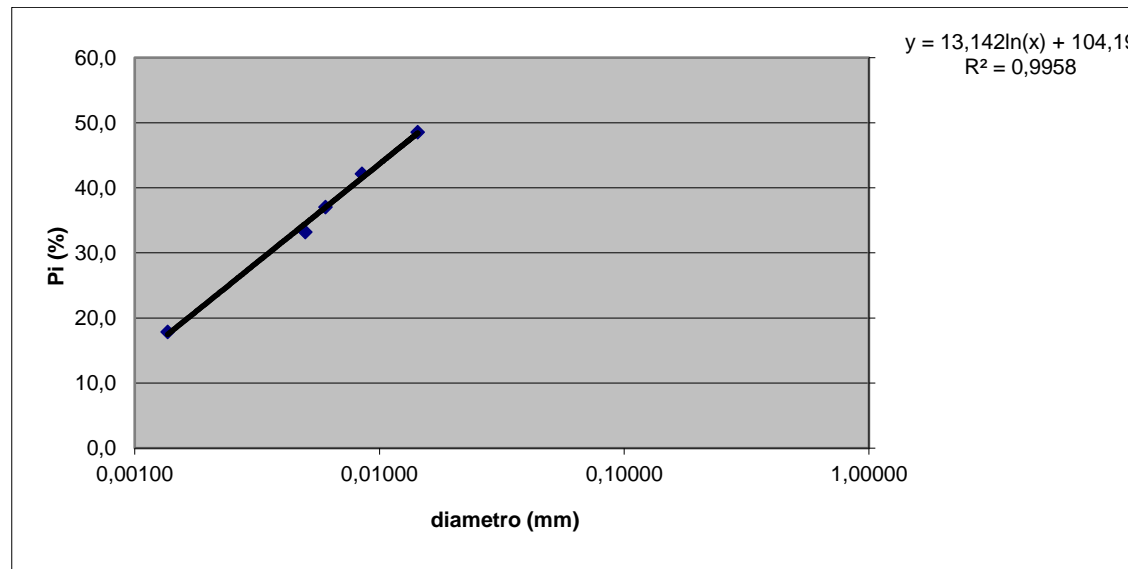


Figura 5: Obtención de la recta de velocidad de sedimentación de las partículas a través de las lecturas del densímetro de Bouyoucos, para la posterior determinación de los porcentajes de arena, limo y arcilla de la población 3 de *Limonium irtaense*

Tabla 8: Cálculos realizados para la obtención de la clase textural en la muestra de suelo de la población 4 de *Limonium irtaense*

Muestra	$m_{\text{as airo}}$	Factor hum	T <sub>2</sub> lectura	Factor T <sub>2</sub>	Conc susp	Lect blanco	Tiempo	Lectura							
	(g)	$f_h$	(°C)	$f_r$	Co	$L_b$	ti	$\sqrt{t}$	$L_r$	$\Theta_r$	$D_1$	$D'_1$	$D''_1$	$C_1$	$P_1$
	(g)		(°C)		(g/L)	(g/L)	(min)	(min <sup>1/2</sup> )	(g/L)	( $\mu\text{m}\cdot\text{min}^{-1/2}$ )	( $\mu\text{m}$ )	( $\mu\text{m}$ )	(mm)	(g/L)	(%)
Z4	40,00	0,97586	24,5	1,06	39,035	5	0,5	0,7071	32,5	40,25	56,922	60,337	0,06034	27,5	70,5
	40,00	0,97586	24,5	1,06	39,035	5	1	1,0000	29,5	41,15	41,150	43,619	0,04362	24,5	62,8
	40,00	0,97586	24,5	1,06	39,035	5	3	1,7321	27,0	41,90	24,191	25,642	0,02564	22,0	56,4
	40,00	0,97586	24,5	1,06	39,035	5	10	3,1623	23,5	42,95	13,582	14,397	0,01440	18,5	47,4
	40,00	0,97586	24,5	1,06	39,035	5	30	5,4772	21,5	43,55	7,951	8,428	0,00843	16,5	42,3
	40,00	0,97586	24,5	1,06	39,035	5	60	7,7460	19,5	44,05	5,687	6,028	0,00603	14,5	37,1
	40,00	0,97586	24,5	1,06	39,035	5	90	9,4868	17,5	44,65	4,707	4,989	0,00499	12,5	32,0
	40,00	0,97586	24	1,07	39,035	5	1314	36,2491	12,5	46,05	1,270	1,359	0,00136	7,5	19,2

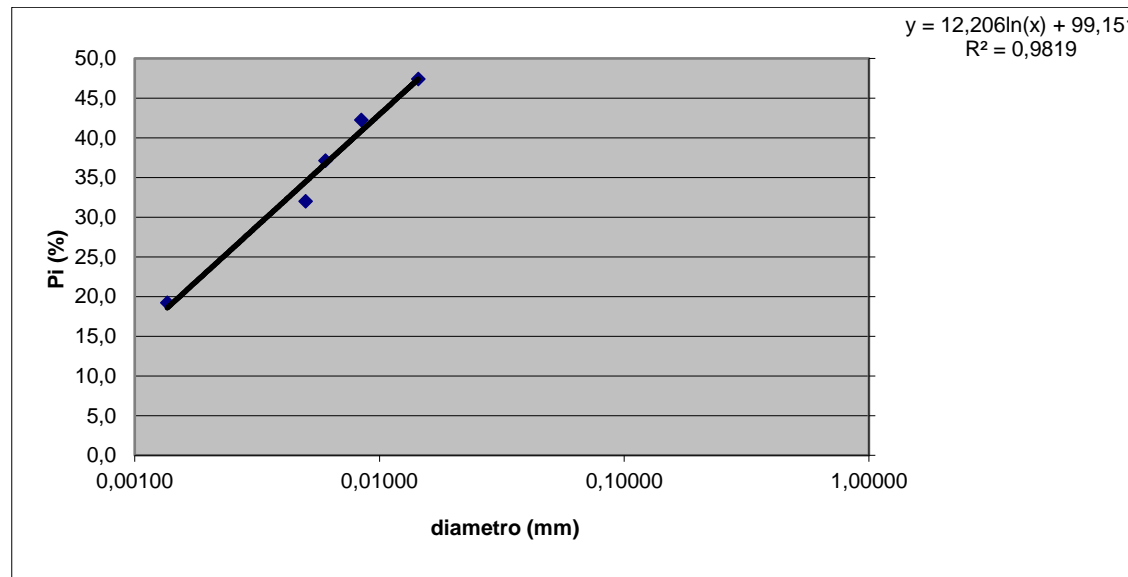


Figura 6: Obtención de la recta de velocidad de sedimentación de las partículas a través de las lecturas del densímetro de Bouyocous, para la posterior determinación de los porcentajes de arena, limo y arcilla de la población 4 de *Limonium irtaense*

Tabla 9: Cálculos realizados para la obtención de la clase textural en la muestra de suelo de la población 5 de *Limonium irtaense*

Muestra	m <sub>sa aire</sub> (g)	Factor hum f <sub>h</sub>	T <sub>2</sub> lectura (°C)	Factor T <sub>2</sub> f <sub>r</sub>	Conc susp C <sub>o</sub> (g/L)	Lect blanco L <sub>L</sub> (g/L)	Tiempo t <sub>i</sub> (min)	√t (min <sup>1/2</sup> )	Lectura		D <sub>1</sub> (μm)	D <sub>1</sub> (μm)	D <sub>1</sub> (mm)	C <sub>i</sub> (g/L)	P <sub>i</sub> (%)
									L <sub>i</sub> (g/L)	Θ <sub>i</sub> (μm·min <sup>1/2</sup> )					
Z5	40,00	0,96772	24,5	1,06	38,709	5	0,5	0,7071	33,5	39,95	56,498	59,888	0,05989	28,5	73,6
	40,00	0,96772	24,5	1,06	38,709	5	1	1,0000	31,5	40,55	40,550	42,983	0,04298	26,5	68,5
	40,00	0,96772	24,5	1,06	38,709	5	3	1,7321	30,0	41,00	23,671	25,092	0,02509	25,0	64,6
	40,00	0,96772	24,5	1,06	38,709	5	10	3,1623	25,5	42,35	13,392	14,196	0,01420	20,5	53,0
	40,00	0,96772	24,5	1,06	38,709	5	30	5,4772	23,0	43,10	7,869	8,341	0,00834	18,0	46,5
	40,00	0,96772	24,5	1,06	38,709	5	60	7,7460	20,5	43,80	5,655	5,994	0,00599	15,5	40,0
	40,00	0,96772	24,5	1,06	38,709	5	90	9,4868	19,5	43,15	4,548	4,821	0,00482	14,5	37,5
	40,00	0,96772	24	1,07	38,709	5	1314	36,2491	15,0	45,30	1,250	1,337	0,00134	10,0	25,8

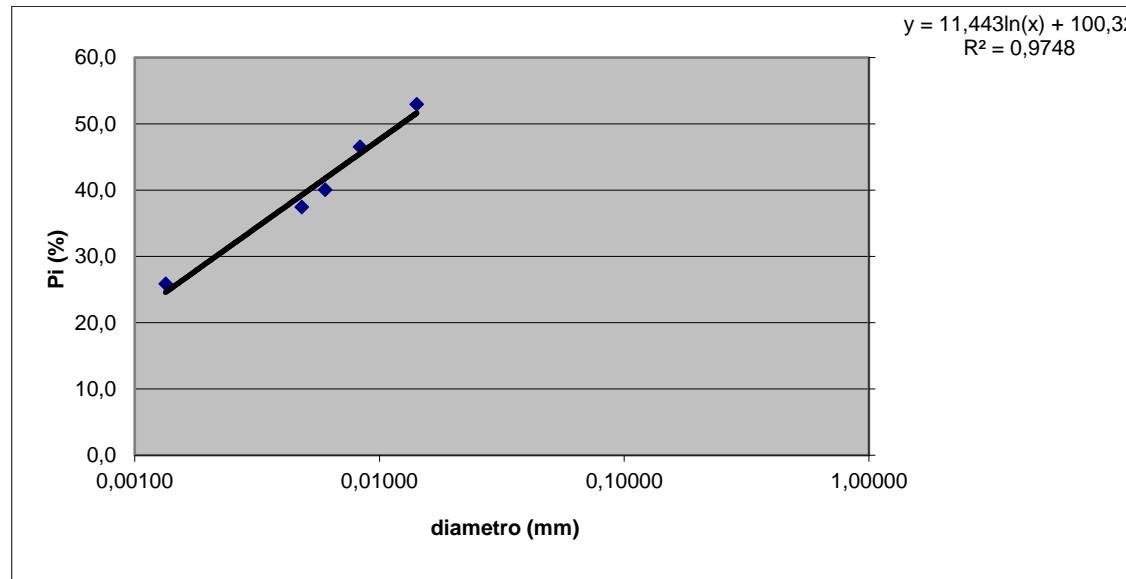


Figura 7: Obtención de la recta de velocidad de sedimentación de las partículas a través de las lecturas del densímetro de Bouyucos, para la posterior determinación de los porcentajes de arena, limo y arcilla de la población 5 de *Limonium irtaense*

Tabla 10: Cálculos realizados para la obtención de la clase textural en la muestra de suelo de la población N1 de *Limonium irtaense*

Muestra	Conc susp		Lect blanco		Tiempo		Lectura								
	m <sub>sa</sub> aire (g)	Factor hum f <sub>h</sub>	T <sup>3</sup> lectura (°C)	Factor T <sup>3</sup> f <sub>t</sub>	Co (g/L)	L <sub>L</sub> (g/L)	t <sub>i</sub> (min)	√t (min <sup>1/2</sup> )	L <sub>i</sub> (g/L)	Θ <sub>i</sub> (μm·min <sup>1/2</sup> )	D <sub>i</sub> (μm)	D' <sub>i</sub> (μm)	D'' <sub>i</sub> (mm)	C <sub>i</sub> (g/L)	P <sub>i</sub> (%)
N1	40,03	0,98580	24,5	1,06	39,461	5	0,5	0,7071	17,0	44,80	63,357	67,158	0,06716	12,0	30,4
	40,03	0,98580	24,5	1,06	39,461	5	1	1,0000	16,5	44,90	44,900	47,594	0,04759	11,5	29,1
	40,03	0,98580	24,5	1,06	39,461	5	3	1,7321	15,0	45,30	26,154	27,723	0,02772	10,0	25,3
	40,03	0,98580	24,5	1,06	39,461	5	10	3,1623	13,5	45,75	14,467	15,335	0,01534	8,5	21,5
	40,03	0,98580	24,5	1,06	39,461	5	30	5,4772	12,5	46,05	8,408	8,912	0,00891	7,5	19,0
	40,03	0,98580	24,5	1,06	39,461	5	60	7,7460	11,5	46,30	5,977	6,336	0,00634	6,5	16,5
	40,03	0,98580	24,5	1,06	39,461	5	90	9,4868	10,0	46,70	4,923	5,218	0,00522	5,0	12,7
	40,03	0,98580	24	1,07	39,461	5	1314	36,2491	8,5	47,10	1,299	1,390	0,00139	3,5	8,9

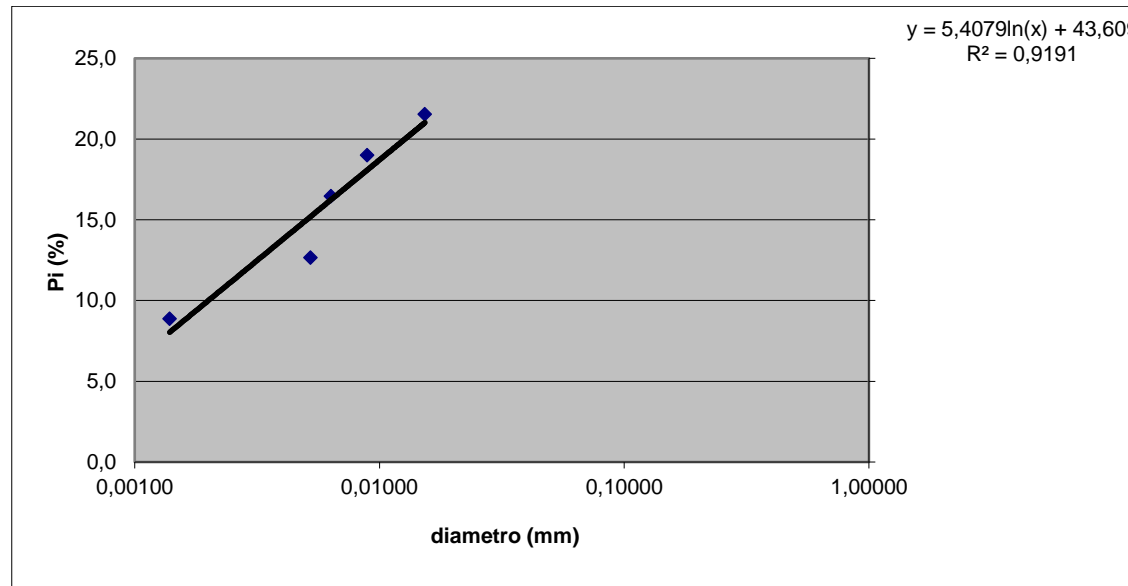


Figura 8: Obtención de la recta de velocidad de sedimentación de las partículas a través de las lecturas del densímetro de Bouyoucos, para la posterior determinación de los porcentajes de arena, limo y arcilla de la población N1 de *Limonium irtaense*

Tabla 11: Valores de la conductividad eléctrica tomados por el conductímetro, de todas las repeticiones de las diferentes muestras de suelo tomadas en cada una de las poblaciones de *Limonium irtaense*.

Muestra	pH	CE (microS/cm)
Z1	8,66	3649
Z1	8,62	3136
Z1'	8,61	1863
Z1'	8,64	2010
Z3	9,01	4564
Z3	9,05	4267
Z2	8,47	1477
Z2	8,44	1405
Z2'	8,33	2700
Z2'	8,33	2795
Z2''	8,56	916,4
Z2''	8,66	1004
N1	8,69	5382
N1	8,53	6166
N1'	8,71	398
N1'	8,61	311,9
N1''	8,58	1808
N1''	8,56	1823
Z4	8,05	1551
Z4	8,04	1564
Z4'	8,47	1623
Z4'	8,48	1342
Z4''	8,43	1174
Z4''	8,41	1294
Z5	8,33	1936
Z5	8,33	1933
Z5'	8,29	26880
Z5'	8,3	27100
Z5''	8,37	1467
Z5''	8,37	1445

Tabla 12: Cálculos realizados para obtener el porcentaje de materia orgánica en las muestras de suelo de cada una de las poblaciones de *Limonium irtaense*.

MATERIA ORGANICA							C orgánico facilmente oxidable (%)	C orgánico total (%)	Materia orgánica (%)
Punto	Repetición	Peso suelo g	Factor humedad	mL K <sub>2</sub> Cr <sub>2</sub> O	mL H <sub>2</sub> SO <sub>4</sub>	mL FeSO <sub>4</sub>			
z1	A	0,530	0,99386	5	10	9,6	0,2928	0,380	0,760
	B	0,500	0,99386	5	10	9,5	0,3385	0,439	0,879
Z1'	A	0,504	0,987	5	10	8,1	0,7330	0,951	1,903
	B	0,499	0,987	5	10	7,9	0,7973	1,035	2,070
Z3	A	0,552	0,988	5	10	7,5	0,8223	1,067	2,135
	B	0,552	0,988	5	10	7,5	0,8223	1,067	2,135
Z2	A	0,544	0,978	5	10	9,2	0,3953	0,513	1,026
	B	0,506	0,978	5	10	9,2	0,4250	0,552	1,103
Z2'	A	0,504	0,975	5	10	10	0,1996	0,259	0,518
	B	0,519	0,975	5	10	10	0,1938	0,252	0,503
Z2''	A	0,502	0,987623762	5	10	9,4	0,3676	0,477	0,954
	B	0,502	0,987623762	5	10	9,6	0,3110	0,404	0,807
N1	A	0,503	0,986	5	10	9,8	0,2544	0,330	0,661
	B	0,51	0,986	5	10	9,9	0,2231	0,290	0,579
N1'	A	0,518	0,979969183	5	10	7,7	0,8285	1,075	2,151
	B	0,523	0,979969183	5	10	7,7	0,8206	1,065	2,130
N1''	A	0,504	0,98436214	5	10	9,9	0,2261	0,293	0,587
	B	0,522	0,98436214	5	10	9,9	0,2183	0,283	0,567
Z4	A	0,501	0,975863349	5	10	8,7	0,5735	0,744	1,489
	B	0,56	0,975863349	5	10	8,6	0,5387	0,699	1,398
Z4'	A	0,53	0,988644689	5	10	9,4	0,3478	0,451	0,903
	B	0,504	0,988644689	5	10	9,5	0,3376	0,438	0,876
Z4''	A	0,504	0,988409273	5	10	8,2	0,7035	0,913	1,826
	B	0,502	0,988409273	5	10	8,2	0,7063	0,917	1,834
Z5	A	0,506	0,967716222	5	10	3,9	1,9468	2,527	5,054
	B	0,51	0,967716222	5	10	3,9	1,9315	2,507	5,014
Z5'	A	0,501	0,966518758	5	10	6,1	1,3317	1,729	3,457
	B	0,503	0,966518758	5	10	6,1	1,3264	1,722	3,443
Z5''	A	0,508	0,982591093	5	10	6,8	1,0953	1,422	2,843
	B	0,502	0,982591093	5	10	6,8	1,1084	1,439	2,877

Tabla 13: Cálculos realizados para obtener el porcentaje de carbonatos en las muestras de suelo de cada una de las poblaciones de *Limonium irtaense*

Muestra	Repetición	Peso muestra	Factor de humedad	Suelo real	Lectura inicial	Lectura final	Lectura real	% Carbonatos	Media
z1	A	0,501	0,99386	0,4979	1,2	75	73,8	147,62	149,81
	B	0,513	0,99386	0,5099	2,2	80	77,8	151,99	
Z1'	A	0,501	0,987	0,4943	2	66	64	128,96	129,09
	B	0,5	0,987	0,4933	4	68	64	129,21	
Z3	A	0,503	0,988	0,4971	1	89	88	176,33	174,35
	B	0,504	0,988	0,4981	1,8	88	86,2	172,38	
Z2	A	0,505	0,978	0,4938	2	46	44	88,74	92,77
	B	0,503	0,978	0,4919	1,2	49	47,8	96,79	
Z2'	A	0,502	0,975	0,4896	1,8	45	43,2	87,88	86,75
	B	0,508	0,975	0,4955	1,4	44	42,6	85,63	
Z2''	A	0,506	0,987623762	0,4997	2	87	85	169,41	167,84
	B	0,501	0,987623762	0,4948	1,4	84	82,6	166,27	
N1	A	0,503	0,986	0,4959	2	89	87	174,76	171,51
	B	0,502	0,986	0,4949	1,4	85	83,6	168,26	
N1'	A	0,5	0,979969183	0,4900	1	67	66	134,16	134,03
	B	0,501	0,979969183	0,4910	1	67	66	133,89	
N1''	A	0,504	0,98436214	0,4961	1	79	78	156,59	155,08
	B	0,51	0,98436214	0,5020	1,6	79	77,4	153,56	
Z4	A	0,507	0,975863349	0,4948	1	35	34	68,45	68,31
	B	0,5	0,975863349	0,4879	0,8	34,2	33,4	68,18	
Z4'	A	0,5	0,988644689	0,4943	0,8	94	93,2	187,79	188,21
	B	0,501	0,988644689	0,4953	0,2	94	93,8	188,62	
Z4''	A	0,5	0,988409273	0,4942	1	100	99	199,52	199,33
	B	0,502	0,988409273	0,4962	0,8	100	99,2	199,13	
Z5	A	0,501	0,967716222	0,4848	0,8	5,8	5	10,27	10,47
	B	0,502	0,967716222	0,4858	0,6	5,8	5,2	10,66	
Z5'	A	0,501	0,966518758	0,4842	0,6	42	41,4	85,16	85,45
	B	0,5	0,966518758	0,4833	0	41,6	41,6	85,74	
Z5''	A	0,504	0,982591093	0,4952	1	41	40	80,45	84,67
	B	0,504	0,982591093	0,4952	0,8	45	44,2	88,90	
				Blanco	1	51,2	50,2		
					0,5				

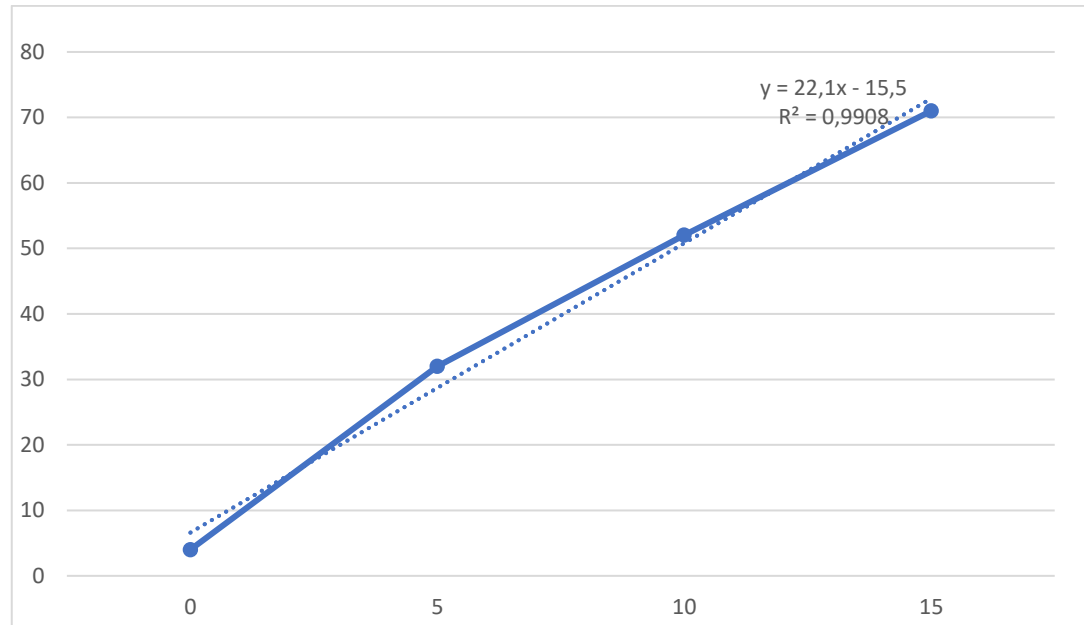
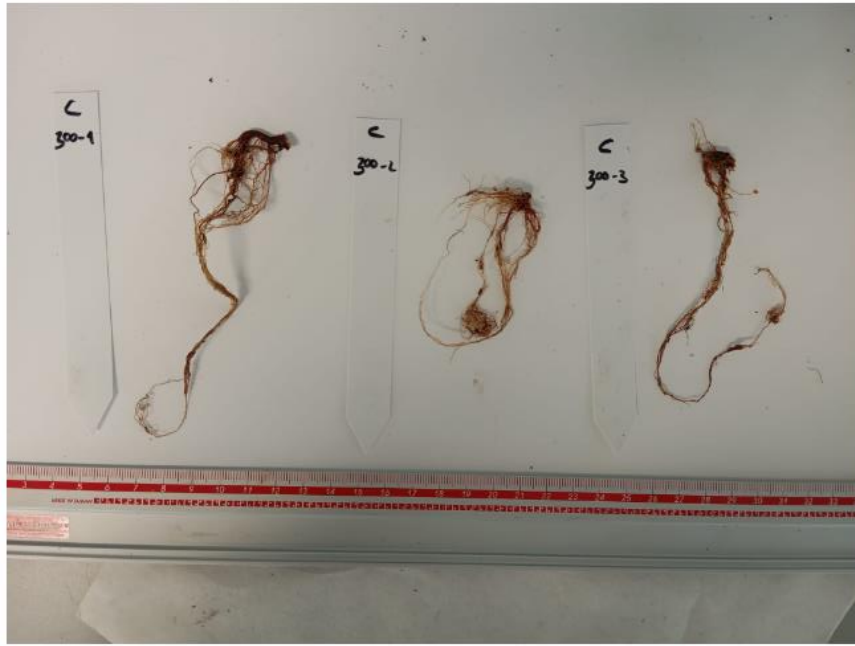


Figura 9: Recta patrón obtenida a través del fotógrafo de llama, para la determinación de las concentraciones de Na+ y el posterior cálculo de la C.I.C del suelo





Figura 10: Parte radical de los individuos de *Limonium irtaense* sometidos al tratamiento de control durante la fase de invernadero



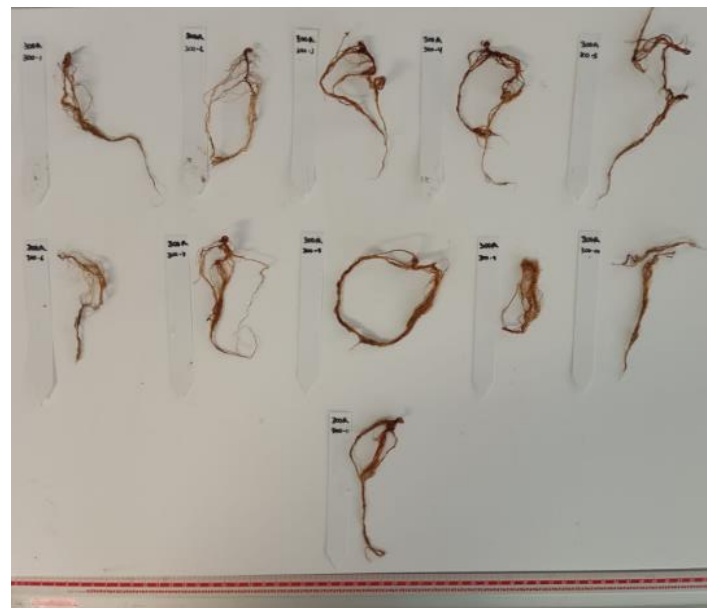
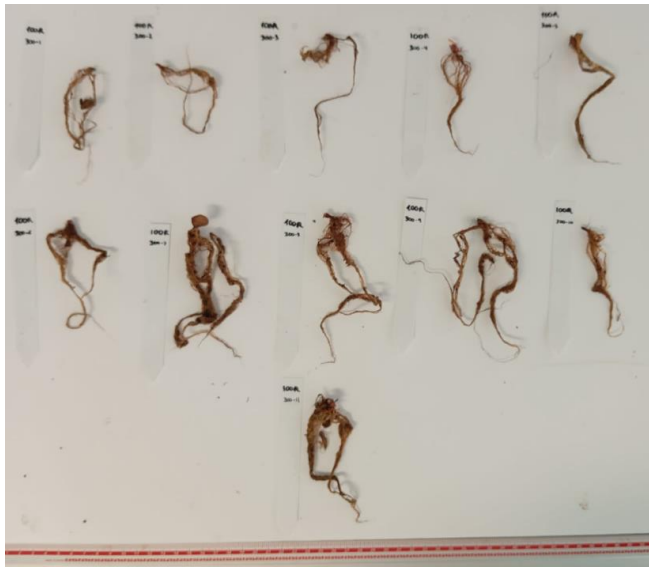


Figura 11: Parte radical de los individuos de *Limonium irtaense* sometidos al tratamiento de 300 mM durante la fase de invernadero



Figura 12: Parte radical de los individuos de *Limonium irtaense* sometidos al tratamiento de 600 mM durante la fase de invernadero



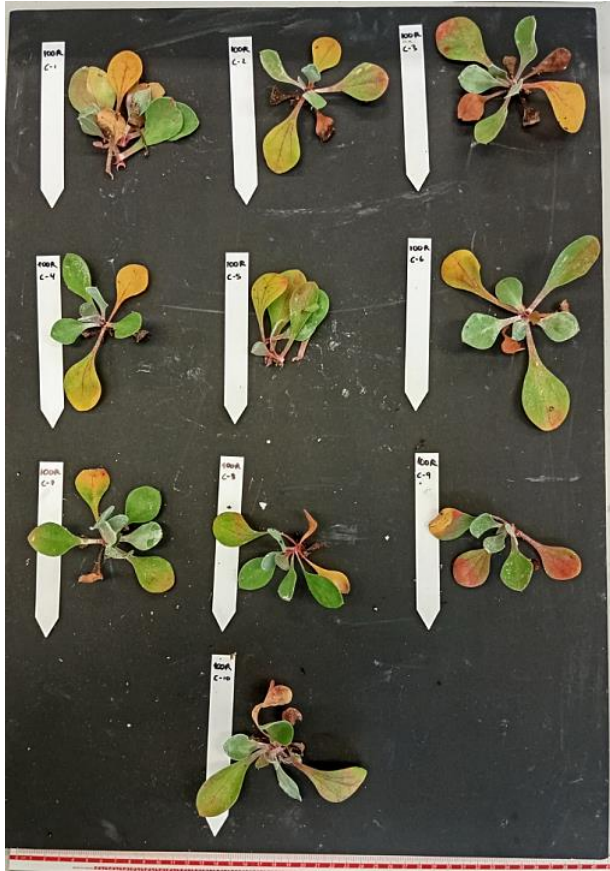




Figura 13: Parte radical de los individuos de *Limonium irtaense* sometidos al tratamiento de control durante la fase de invernadero







Figura 14: Parte aérea de los individuos de *Limonium irtaense* sometidos al tratamiento de 300 mM durante la fase de invernadero







Figura 15: Parte aérea de los individuos de *Limonium irtaense* sometidos al tratamiento de 600 mM durante la fase de invernadero